

การจำลองระบบโครงสร้างประกอบที่มีการหน่วงสูง หรือซับช้อนด้วยเทคนิดดี้แบล็ป

Modified Sub-structuring Techniques for System Modeling of High Damped or Complicated Structural Assemblies

วราเทพ ภู่สามานเกียรติ¹ และ จักร จันทร์ลักษณา²

ศูนย์วิจัยวิศวกรรมคำนวนชั้นสูง ภาควิชาวิศวกรรมเครื่องกล

คณะวิศวกรรมศาสตร์ สถาบันเทคโนโลยีพระจอมเกล้าฯ พระนครเหนือ

1518 ถนน พิบูลสงคราม บางซื่อ กรุงเทพฯ 10800

โทร 66(2)9132500-24 ต่อ 8303 โทรสาร 66(2)5869542

Research Center on Advance Computational Engineering (RACE) Mech. Eng Dept, Faculty of Engineering,

King Mongkut's Institute of Technology North Bangkok

1518 Pibulsongkram Road, Bangsue, Bangkok 10800 Tel. 66(2)9132500-24 ext .8303, Fax. 66(2)5869542

Email-addresses: thep_engineer@yahoo.com¹, chakjoe@hotmail.com²

บทคัดย่อ

วิธีการสร้างแบบจำลองพลศาสตร์ของโครงสร้างประกอบ (Assembly) ทางกลด้วยการทดสอบโมดัล (Modal testing) เป็นวิธีที่นิยมในทางปฏิบัติเนื่องจากได้ข้อมูลที่สอดคล้องกับโครงสร้างจริงอย่างไรก็ตามจากการซับช้อนของโครงสร้างประกอบ และการเกิดความหน่วง (Damping) ที่บริเวณตำแหน่งเชื่อมต่อ元件ชิ้นส่วนย่อย (Parts) เข้าด้วยกัน ทำให้การทดสอบโมดัลต้องใช้หัวเขย่า (Shaker) เพื่อให้โครงสร้างพตุกรรมที่เด่นชัดออกม่า และบางครั้งข้อมูลจากการทดสอบต้องการวิธีการหาเอกลักษณ์ระบบที่ซับซ้อน

งานวิจัยนี้นำเสนอวิธีการปรับปรุงเทคนิดแบบ Sub-Structuring อย่างง่าย และใช้การทดสอบโมดัลด้วยวิธีเคาะกระดุน (Impact testing) ที่เหมาะสมสำหรับโครงสร้างที่ความหน่วงไม่มากนัก โดยเทคนิดที่ปรับปรุงนี้จะสามารถให้ผลการตัดแบล็ปสภาวะขอบเขตโครงสร้าง (Boundary Conditions) ด้วยวิธีการทำนายที่สอดคล้องกับการตัดแบล็ปโครงสร้างจริงที่มีการหน่วงมากได้ การศึกษาจะเปรียบเทียบเทคนิดที่ปรับปรุงกับวิธีการทางไฟไนต์อิลิเมนต์ เพื่อยืนยันประสิทธิภาพของวิธีการที่นำเสนอ และการประยุกต์ใช้เทคนิดดังกล่าวกับการสร้างแบบจำลองโครงสร้างปีกยานบินไร้คนขับที่โครงสร้างประกอบมีค่าการหน่วงสูง โดยใช้ข้อมูลทั้งหมดในการสร้างแบบจำลองจากการทดสอบโมดัล ซึ่งผลการศึกษาที่ได้สามารถทำนายโครงสร้างที่มีอัตราส่วนการหน่วงประมาณ 3 – 5% ได้เป็นอย่างดี

คำสำคัญ: โครงสร้างย่อย, การทดสอบและวิเคราะห์โมดัล, การจำลองระบบ

Abstract

To construct a dynamic model of an assembled structure, modal testing is widely used due to information obtained from real behavior of an assembled structure. However, since complexity of the assembled structure and damping introduced at connections of parts, these require more complicated testing where a shaker may need to excite the structure behavior. Also testing data is needed to process with complicated system identification techniques.

In this study, a simple modified sub-structuring technique is proposed to implement with impact testing techniques used for lightly damped structures. The modified technique is then capable of dynamic behavior prediction of high damped structures. The study is to compare dynamic behavior between an assembled structures from the modified technique and those from the finite element method to verify the technique. Then the modified technique is implemented to real structures, wing structures of unmanned aircraft vehicle (UAV) where high damping is present. The results showed that it can be predicted well for damping ratio of 3 – 5%.

Keyword: Sub-structuring, Modal Testing and Analysis, System Modeling

1. บทนำ

การศึกษาพฤติกรรมการสั่นสะเทือนของโครงสร้างทางกล ที่มีรายละเอียดของการออกแบบที่ซับซ้อน หรือซึ้งงานประกอบที่ส่งผลให้เกิดความหน่วง (Damping) ในโครงสร้างซึ่งตัวแปรการหน่วงนี้ โดยปกติจะทำให้การหาเอกลักษณ์ หรือสร้างแบบจำลองโครงสร้างจากข้อมูลการทดสอบโครงสร้าง (Modal Testing) ทำได้ค่อนข้างยากขึ้น เนื่องจากความเด่นของ荷重และการสั่นไม่ชัดเจน [1] วิธีการท่านายพุทธิกรรมแบบชิ้นส่วนย่อย (Parts) ในโครงสร้างประกอบ (Assembly) จะทำให้การทดสอบไม่ต้องใช้ชิ้นส่วนย่อย เพื่อนำข้อมูลทดสอบมาสร้างแบบจำลองการสั่น สามารถทำได้สะดวกและแบบจำลองที่สร้างจากผลการทดสอบของชิ้นส่วนย่อยทั้งหมด สามารถสร้างขึ้นเป็นแบบจำลองโครงสร้างประกอบที่สมบูรณ์ รวมทั้งสามารถนำข้อมูลความหน่วงจากจุดต่อเชื่อมต่างๆ ที่เกิดขึ้นในโครงสร้างประกอบมาปรับปรุง (updating) แบบจำลองชิ้นส่วนย่อยให้มีความสอดคล้อง กับแบบจำลองโครงสร้างประกอบได้ หรือที่เรียกวิธีการเช่นนี้ว่า เทคนิค Sub-structuring [1] โดยเทคนิคนี้เคยใช้ในการออกแบบอุปกรณ์รับน้ำหนักบริเวณฐานล้อของเอลิคอปเตอร์ (Carrier) ที่ต้องเชื่อมต่อกับลำตัว โดยแบบจำลองการสั่นของอุปกรณ์รับน้ำหนักดังกล่าวถูกนำมาประมาณกับแบบจำลองการสั่นของลำตัวที่ได้จากการทดสอบ เพื่อสร้างแบบจำลองและท่านายลักษณะ荷重การสั่นที่เกิดขึ้นเมื่อได้ประกอบชิ้นส่วนเข้าด้วยกัน

2. ทฤษฎี

2.1 แบบจำลองโมเดล (Modal model)

ในการสร้างแบบจำลองเพื่อศึกษาพฤติกรรมการสั่นสะเทือนของโครงสร้างทางกลในเชิงโภemen ความถี่ สมการคลินิตศาสตร์ที่สามารถนำมาใช้ในการสร้างแบบจำลองโมเดลได้คือ

$$H_{jk}(\omega) = \sum_{r=1}^m \frac{r A_{jk}}{\omega_r^2 - \omega^2 + j2\zeta_r \omega_r^2} \quad (1)$$

โดยคุณลักษณะของระบบหรือตัวแปรโมเดล (Modal Parameters) ซึ่งประกอบด้วยไอกาเนวคเตอร์ (Eigenvector) $r A_{jk}$ โดย r คือลำดับ荷重การสั่น j คือตำแหน่งจุดโครงสร้างที่ตอบสนองและ k คือตำแหน่งจุดโครงสร้างที่กระตุ้น และไอกาเนวน้ำaju (Eigenvalues), ω_r, ζ_r หรือความถี่ธรรมชาติและอัตราส่วนการหน่วงตามลำดับ เป็นสิ่งบ่งบอกพุทธิกรรมทางกลของโครงสร้าง ซึ่งวิธีที่นำเสนอต่อไปนี้ จะแสดงให้เห็นว่าตัวแปรโมเดล สามารถหาได้จากการฟังก์ชันตอบสนองความถี่ (Frequency Response Function, FRF) ของระบบ ที่ได้จากการทดสอบแบบใช้ค้อนกระตุุนการสั่น (Impact testing) ดังนี้

2.1.1 การหาตัวแปรโมเดล ของโครงสร้างจากข้อมูลผลการทดสอบการหาค่าไอกาเนวคเตอร์ โดย Dobson's Method [1] จะพิจารณาระบบที่ค่าความหน่วงน้อย ดังนี้

$$H_{jk}(\omega) = \sum_{r=1}^m \frac{r A_{jk}}{\omega_r^2 - \omega^2} \quad (2)$$

โดยค่าฟังก์ชันตอบสนองความถี่ H_{jk} ณ ตำแหน่งความถี่ใดๆ (Ω_ℓ) และค่าความถี่ธรรมชาติ (ω_r) สามารถหาได้จากการฟังก์ชันตอบสนองความถี่ที่ได้จากการทดสอบ ดังนี้จากสมการ (2) สามารถเขียนได้ว่า

$$H_{jk}(\Omega_\ell) = \begin{Bmatrix} (\omega_1^2 - \Omega_\ell^2)^{-1} & (\omega_2^2 - \Omega_\ell^2)^{-1} & \dots \end{Bmatrix} \begin{Bmatrix} 1 A_{jk} \\ 2 A_{jk} \\ \vdots \end{Bmatrix} \quad (3a)$$

โดยจะทำการเก็บข้อมูลไว้ในหลายๆ ตำแหน่งดังสมการ (3b)

$$\begin{Bmatrix} H_{jk}(\Omega_1) \\ H_{jk}(\Omega_2) \\ \vdots \\ \vdots \end{Bmatrix} = \begin{Bmatrix} (\omega_1^2 - \Omega_1^2)^{-1} & (\omega_2^2 - \Omega_1^2)^{-1} & \dots \\ (\omega_1^2 - \Omega_2^2)^{-1} & (\omega_2^2 - \Omega_2^2)^{-1} & \dots \\ \vdots & \vdots & \vdots \\ \vdots & \vdots & \vdots \end{Bmatrix} \begin{Bmatrix} 1 A_{jk} \\ 2 A_{jk} \\ \vdots \\ \vdots \end{Bmatrix} \quad (3b)$$

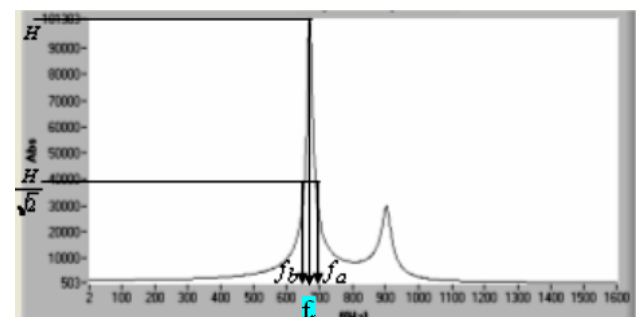
หรือ $\{H_{jk}(\Omega)\} = [R]\{A_{jk}\}$ ดังนั้นไอกาเนวคเตอร์ $r A_{jk}$ สามารถหาได้โดย

$$\{A_{jk}\} = [R]^{-1}\{H_{jk}(\Omega)\} \quad (4)$$

2.1.2 การหาค่าอัตราส่วนการหน่วง โดยวิธี Half-power

จากรูปที่ 1 กราฟฟังก์ชันตอบสนองความถี่จะเห็นว่า ความกว้างของยอดกราฟจะสัมพันธ์กับอัตราส่วนการหน่วง และสามารถคำนวณได้ดังสมการ (5)

$$\zeta = \frac{f_a - f_b}{2f_r} \quad (5)$$



รูปที่ 1 การหาค่าอัตราส่วนความหน่วงโดยวิธี Half-power

จากสมการที่ (2) และ (5) สามารถนำมาสร้างเป็นแบบจำลองโมเดลดังแสดงในสมการที่ (1) ได้ ดังนั้น ข้อมูลผลการทดสอบ (Modal Testing) สามารถนำไปสู่การหาตัวแปรทางโมเดล และสร้างเป็นแบบจำลองทางกลของโครงสร้างย่อยๆ ได้ ซึ่งทำให้สามารถท่านายพุทธิกรรมของโครงสร้างย่อย เมื่อนำไปทำการตัดแปลงโครงสร้าง เช่น อาจจะเป็นการยึดตึงหรือประกอบกับโครงสร้างย่อยอื่น เป็นการท่านายถึงพุทธิกรรมของโครงสร้างประกอบได้ ดังที่จะกล่าวต่อไป

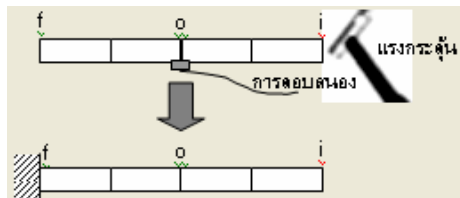
2.2 การปรับปรุงเทคโนโลยี Sub-structuring อย่างง่าย

การทำนายพุทธิกรรมพลศาสตร์ของโครงสร้างที่มีจุดต่อหรือการยึดโครงสร้างไว้ในแบบต่างๆ สามารถที่จะสร้างแบบจำลองได้จากการนำข้อมูลทดสอบการสั่นของโครงสร้างที่มีด้วยแบบอิสระหรือแขวนห้อย

โครงสร้าง เพื่อผลผลลัพธ์จากความหน่วงที่เกิดกับจุดยึดต่อและทำให้การระบุโหนดการสั่นทำได้ยากขึ้น ซึ่งความหน่วงของโครงสร้างที่มีการยึดที่จุดยึดจริงจะสามารถนำมาอัปเดต (Model updating) ในภายหลังได้

2.2.1 การทำนายการปรับปรุงโครงสร้างยื่อยแบบยึดตึง

พิจารณาการปรับปรุงค่าโดยการยึดตึง 1 จุด หรือจุด f ในรูปที่ 2



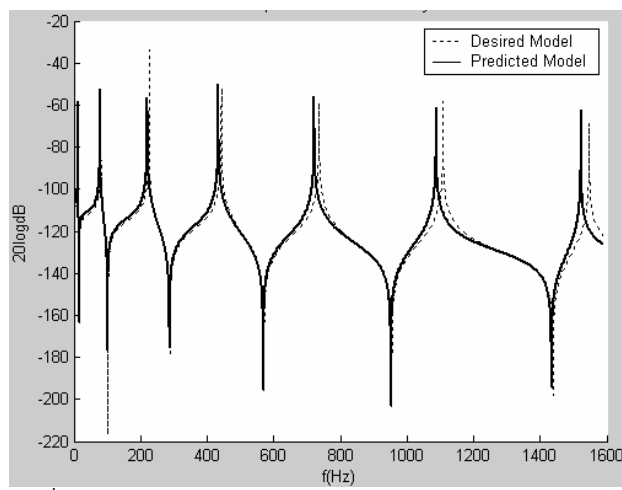
รูปที่ 2 แนวคิดการทดสอบแบบคานปล่อยอิสระ เพื่อทำนายการปรับปรุงแบบยึดตึง

จาก พังก์ชันตอบสนองความถี่ $H_{jk} = \frac{x_j}{F_k}$

จากรูปที่ 2 ได้

$$\begin{aligned} x_f &= H_{ff}F_f + H_{fi}F_i \\ x_o &= H_{of}F_f + H_{oi}F_i \end{aligned} \quad (6)$$

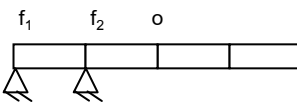
ดังนั้น $H_{oi_modify} = H_{oi} + \left(\frac{-H_{of}H_{fi}}{H_{ff}} \right)$ (7)



รูปที่ 3 เปรียบเทียบการทดสอบการยึดตึงโดยตรงกับการทำนายโดยใช้ข้อมูลจากคานยึดแบบอิสระ

ซึ่งผลการทดสอบจากแบบจำลองที่สร้างขึ้นด้วยวิธี Sub-structuring พบว่า การดัดแปลงข้อมูลจากการทดสอบโครงสร้างกรณียึดแบบอิสระ (Free support) สามารถนำมาทำนายพังก์ชันตอบสนองความถี่ระบบที่ทำการยึดแบบตึงได้ (รูปที่ 3)

แต่ปัญหาหนึ่งที่พบในการประยุกต์ใช้วิธีนี้คือ การสร้างสมการพังก์ชันตอบสนองความถี่ที่ทำการปรับปรุง (H_{modify}) เมื่อยึดตึงหลายจุด เนื่องจากเมื่อมีจุดยึดตึงมากขึ้น สมการ H_{modify} ก็จะมีความซับซ้อนมากขึ้น ซึ่งไม่เหมาะสมกับการใช้งาน ดังตัวอย่างสมการ (8)



รูปที่ 4 การปรับปรุงโดยยึดตึงคาน แบบ 2 จุด

$$H_{oi_modify} = \left[H_{oi} - \frac{H_{of_1}H_{f_2}T}{H_{f_2}f_1T + H_{f_2}f_2} - \frac{H_{f_1}iH_{of_2}}{H_{f_1}f_2 + H_{f_1}f_1T} \right] \quad (8)$$

โดย

$$T = \frac{(H_{f_1}f_2H_{f_2}i - H_{f_2}f_2H_{f_1}i)}{(H_{f_2}f_1H_{f_1}i - H_{f_1}f_1H_{f_2}i)}$$

2.2.2 วิธีการหาพังก์ชันตอบสนองความถี่สำหรับโครงสร้างยึดตึงหลายจุด

วิธีการที่จะนำเสนอต่อไปนี้ เป็นขั้นตอนในการคำนวณหาพังก์ชันตอบสนองความถี่แบบยึดตึงหลายจุด โดยใช้ข้อมูลพฤติกรรมโครงสร้างจากการยึดแบบอิสระ โดยให้มีความเหมาะสมและใช้ปฏิบัติได้สะดวก จากรูปที่ 4 ที่มีการยึดตึงโครงสร้างที่จุด f_1 และ f_2 สามารถเขียนสมการในรูปของเมตริกซ์ ได้ดังนี้

$$\begin{bmatrix} 0 \\ f_1 \\ f_2 \\ x_o \end{bmatrix} = \begin{bmatrix} H_{f_1}f_1 & H_{f_1}f_2 & H_{f_1}f_i \\ H_{f_2}f_1 & H_{f_2}f_2 & H_{f_2}f_i \\ H_{f_o}f_1 & H_{f_o}f_2 & H_{f_o}f_i \end{bmatrix} \begin{bmatrix} F_{f_1} \\ F_{f_2} \\ F_i \end{bmatrix} \quad (9a)$$

ดังนั้นพิจารณาสมการสองถ้าแรก

$$\begin{bmatrix} F_{f_1} \\ F_{f_2} \end{bmatrix} = -\begin{bmatrix} H_{f_1}f_1 & H_{f_1}f_2 \\ H_{f_2}f_1 & H_{f_2}f_2 \end{bmatrix}^{-1} \begin{bmatrix} H_{f_1}f_i \\ H_{f_2}f_i \end{bmatrix} F_i \quad (9b)$$

หรือเขียนในรูปกระ탁ัดเป็น

$$\begin{bmatrix} F_{f_1} \\ F_{f_2} \end{bmatrix} = \begin{bmatrix} a_{11} \\ a_{21} \end{bmatrix} F_i \quad (9c)$$

จะนั้นแทนสมการ (9c) กลับในสมการ (9a) และสามาได้เป็น

$$x_o = [H_{f_o}f_1 \ H_{f_o}f_2 \ H_{f_o}f_i] \begin{bmatrix} a_{11} \\ a_{21} \\ 1 \end{bmatrix} F_i \quad (9d)$$

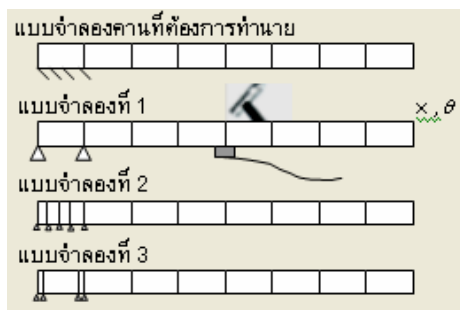
$$\therefore H_{modify} = \frac{x_o}{F_i} = [H_{f_o}f_1 \ H_{f_o}f_2 \ H_{f_o}f_i] \begin{bmatrix} a_{11} \\ a_{21} \\ 1 \end{bmatrix} \quad (9e)$$

โดยสมการ (9e) และ (8) ให้ผลที่เหมือนกัน แต่สามารถเขียนเป็นอัลกอริทึมใช้ในทางปฏิบัติได้สะดวกกว่า

2.2.3 ผลกระทบของการประยุกต์กับโครงสร้างคานที่มีขั้นอิสระเชิงมุม (rotational degree of freedom)

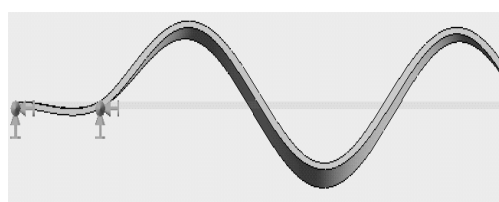
ในโครงสร้างผนังบาง เช่น คาน ที่ต้องการยึดตึงปลายด้านหนึ่งไว้ การเลือกจุดยึดเป็นเพียงการเคลื่อนที่แนววางคานเพียงจุดเดียว จะไม่สามารถจำลองการยึดตึงแม้มีจุดยึดตึงมากขึ้น สมการ H_{modify} ก็จะมีความซับซ้อนมากขึ้น ซึ่งปัจจุบลจากการทดสอบโครงสร้าง จะไม่ง่ายต่อการตรวจด้วยการสั่นสะเทือนเชิงมุม ซึ่งในการศึกษานี้จะ

เน้นเทคนิคในการยึดตรึงปลายดังแสดงการศึกษาในแบบจำลองตามรูปที่ 5

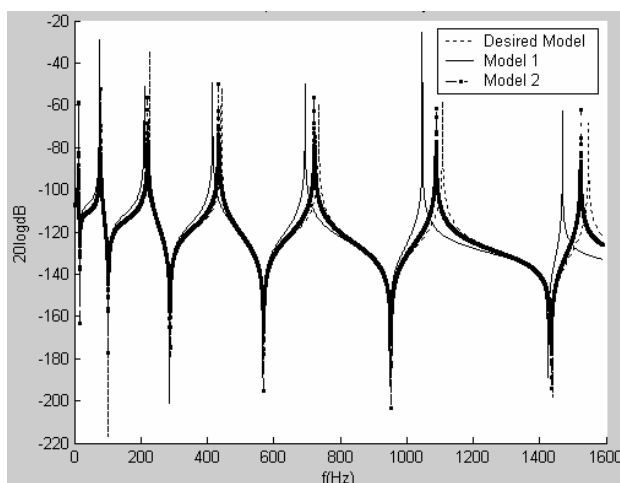


รูปที่ 5 แบบจำลองงานที่ต้องการทำนายและแบบจำลองที่สร้างขึ้นด้วยวิธี Sub-structuring เพื่อเปรียบเทียบ

ในแต่ละโหนดที่แบ่งบนโครงสร้างแบบงาน นอกจากจะมีผลตอบสนองในแนวขวาง (Transverse), x และ ยังมีการเคลื่อนที่อิสระเชิงมุม, θ ของงาน โดยแบบจำลองที่ 1 การยึดตรึงจะเกิดเฉพาะในแนวขวาง เท่านั้น (รูปที่ 5) ผลที่ได้จึงยังไม่ใกล้เคียงกับการยึดแบบจำลองงานที่ต้องการทำนายหรือใช้ผลการตอบสนองจากวิธีไฟในต่อไปนี้เพื่อเปรียบเทียบ เนื่องจากผลของการตัดตัวที่เกิดขึ้น จึงทำการปรับปรุงแบบจำลองเพื่อยึดตรึงเป็นแบบจำลองที่ 2 จึงใกล้เคียงมากขึ้น (รูปที่ 7)



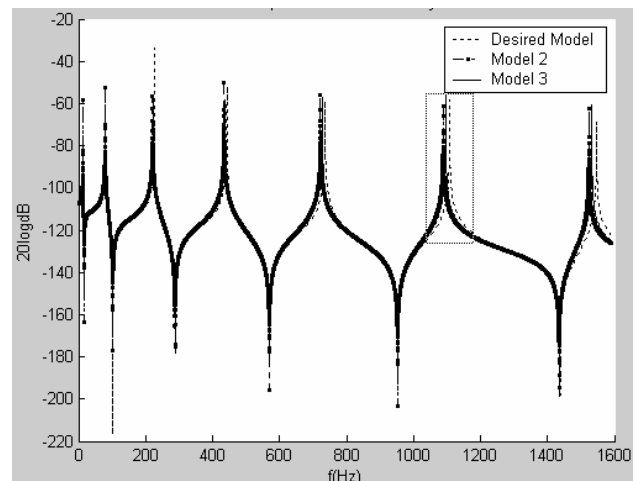
รูปที่ 6 การดัดตัวเชิงมุมที่เกิดขึ้นหากทำการจุดยึดตรึงจำลองจากไฟ ในต่อไปนี้



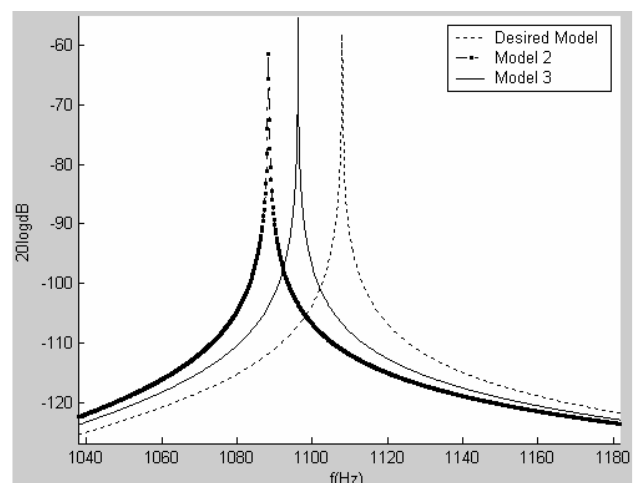
รูปที่ 7 เปรียบเทียบประสิทธิภาพของรูปแบบการยึดตรึงระหว่างแบบจำลองที่ 1 และ 2 กับแบบจำลองยึดตรึงตามทฤษฎี

จะเห็นว่าหากมีการแบ่งชุดให้ลักษณะมากขึ้น การยึดตรึงแม้จะอยู่ในแนวขวางก็สามารถช่วยลดผลกระทบที่เกิดจาก การดัดตัวเชิงมุมได้ดังนั้นแบบจำลองที่ 3 จึงถูกสร้างขึ้นเพื่อทดสอบและยืนยันสมมติฐานนี้ โดยทำการแบ่งงานให้โหนดมีความละเอียดมากขึ้น โดยเฉพาะบริเวณ

จุดยึดเดิมของแบบจำลองที่ 1 และเอาโหนดที่ต่ำแห่งกึ่งกลางออก (รูปที่ 5) เพราะสังเกตว่าการยึดโหนดในแนวขวางเพียงเท่านี้ก็เพียงพอต่อการลดผลกระทบจากความแข็งตึงสปริงเชิงมุมได้ ซึ่งผลการจำลองเชิงตัวเลขสามารถยืนยันแนวคิดและสมมติฐานนี้ได้เป็นอย่างดี (รูปที่ 8)



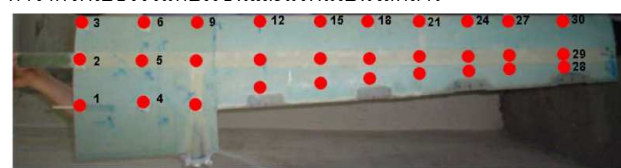
รูปที่ 8-a เปรียบเทียบประสิทธิภาพของรูปแบบการยึดตรึง ระหว่างแบบจำลองที่ 2 และ 3



รูปที่ 8-b ขยายรูป 8-a ตรงบริเวณเส้นประสีเหลืองเพื่อให้เห็นชัดเจนมากขึ้น

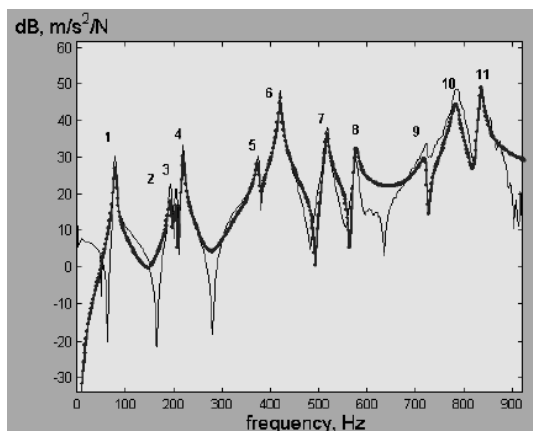
3. การประยุกต์วิธีการตัดแปลงโครงสร้างย่อยสำหรับปีกเครื่องบินไร้คนขับ (UAV)

การทดลองนี้ ได้นำวิธีการตัดแปลงโครงสร้างย่อยตามที่ได้กล่าวมาใช้กับปีกเครื่องบินไร้คนขับ (UAV) โดยใช้ผลการทดสอบจริง (แบบยึดโครงสร้างด้วยวิธีแขวนห้อยอิสระ) ของปีกเครื่องบิน มาสร้างเป็นแบบจำลองโดยถัดตามสมการ (1) ซึ่งผลที่ได้จะนำไปทำนายผลการปรับปรุงโครงสร้างแบบยึดตรึงในส่วนโคนปีกต่อไป โดยโครงสร้างปีกทำจากไฟเบอร์ร่วมกับเรซิโน่และมีโฟเมเป็นไส้กลาง

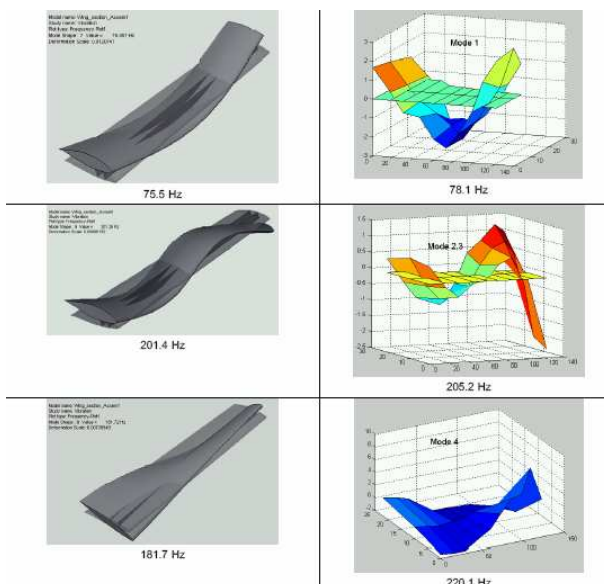


รูปที่ 9 โครงสร้างปีกเครื่องบินที่ทำการแบ่งจุดดัดสัญญาณทั้ง 30 จุดวัด

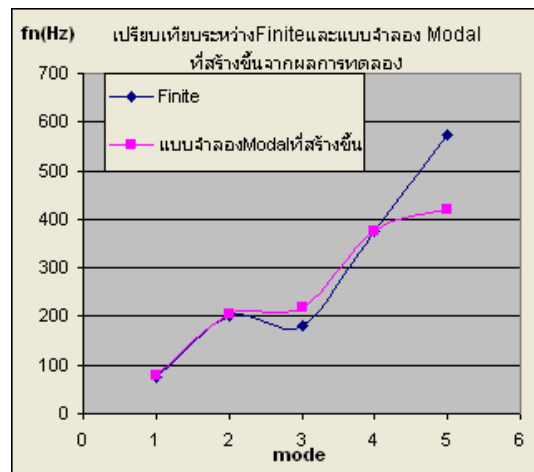
จากข้อมูลการทดสอบ สามารถหาໄอเกนเวคเตอร์ และໄอเกนวაลู (ความถี่ธรรมชาติและ อัตราส่วนความหน่วง) ณ โหมดต่างๆ (สมการ (3) – (5)) นั่นคือการได้สมการแบบจำลองฟังก์ชันตอบสนองความถี่ของปีกเครื่องบิน ซึ่งรูปที่ 10 และ 11-a,b สามารถยืนยันความถูกต้องแบบจำลองโมเดลที่สร้างขึ้นได้เป็นอย่างดี โดยในรูปที่ 10 เส้นบางคือ ฟังก์ชันตอบสนองความถี่ (ณ จุดวัดและกระดุนที่จุด 1, H₁₁) ที่ได้จากการทดสอบ มีความใกล้เคียงกับเส้นทึบซึ่งได้จากแบบจำลองโมเดลที่สร้างขึ้นจากวิธี Dobson ที่มีการดัดแปลง ส่วนรูปที่ 11-a,b นอกจากจะเป็นการยืนยันความถูกต้อง (จากรูปร่างการสั่นที่เหมือนกันดังรูป 11-a) แล้ว ข้อมูลจากแบบจำลองโมเดล ยังช่วยให้การปรับปรุง Finite Element Analysis (FEA) model มีความถูกต้องมากยิ่งขึ้นด้วย



รูปที่ 10 กราฟเปรียบเทียบ H_{11} ระหว่างการได้จากผลทดลอง (เส้นบาง) และแบบจำลองโมเดลที่สร้างขึ้น(เส้นทึบ)



รูปที่ 11-a เปรียบเทียบรูปร่างการสั่นจากแบบจำลองໄพในตัวอิเล็กทรอนิกส์และแบบจำลองโมเดลที่สร้างจากผลการทดสอบ

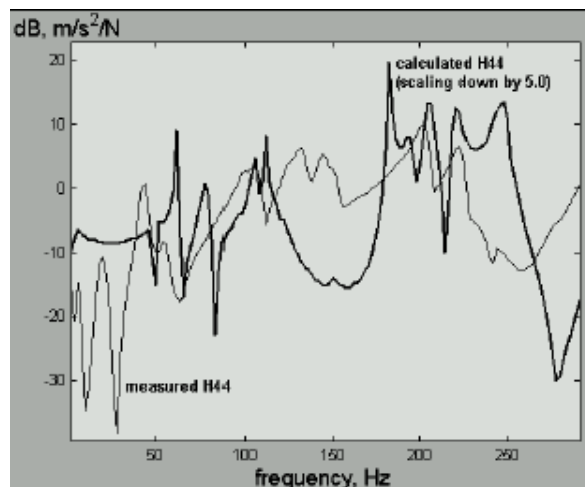


รูปที่ 11-b เปรียบเทียบความถี่ธรรมชาติจากแบบจำลองໄพ ในตัวอิเล็กทรอนิกส์ และ แบบจำลองโมเดลที่สร้างขึ้น

ในการทดลองต่อไปจะใช้วิธี Substructuring ทำนายการยึดตรึงโคนปีก โดยใช้ข้อมูลจากแบบจำลองที่สร้างจากผลการทดสอบยึดอิสระเดิม ณ จุดยึดตรึงสองจุด คือจุดที่ 1 และ 2 ตามรูปที่ 9 เปรียบเทียบกับผลการทดสอบเมื่อทำการยึดตรึงปีกจริงดังรูปที่ 12



รูปที่ 12 การยึดล้ำตัวกับปีกเครื่องบิน สำหรับการทดสอบจริงเพื่อเปรียบเทียบผลกับวิธี Sub-structuring

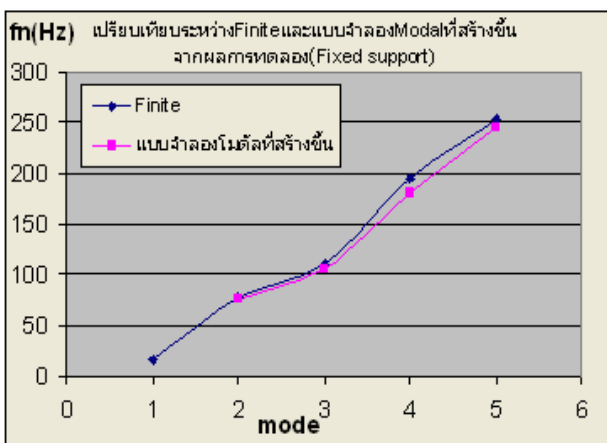


รูปที่ 13 เปรียบเทียบผลจากการนี้ปีก UAV ที่ใช้หลักการ Sub-structuring (คำนวน) เปรียบเทียบกับวิธีการยึดปีกจริง (โครงสร้างประกอบ)

จากรูปที่ 13 ลักษณะของการเกิด荷การสั่นจะมีรูปแบบคล้ายกัน เพียงแต่ค่าความถี่ธรรมชาติไม่ถูกต้องที่เดียวกัน เนื่องจากไม่ได้รวม พลศาสตร์ของส่วนลำตัวเข้าไว้ด้วย แต่สามารถนำมาอัพเดทภายหลัง ด้วยเทคนิคอื่นๆ ได้ อย่างไร่ตามเมื่อเปรียบเทียบกับแบบจำลองไฟฟ์ไน์ต์อิลิเม้นท์ที่ทำการยึดตึงโคนปีกจะพบว่า ค่าความถี่ธรรมชาติ ค่อนข้างให้ผลสอดคล้องกับการทำนายด้วยวิธี Sub-structuring เป็นอย่างดี

ลักษณะ mode shape	ค่าความถี่ธรรมชาติ
	FE model : 15.3 Hz Predict from modified model : -
	FE model : 77 Hz Predict from modified model : 76.31 Hz
	FE model : 110 Hz Predict from modified model : 106.57 Hz
	FE model : 195 Hz Predict from modified model : 192.98 Hz
	FE model : 254 Hz Predict from modified model : 246.05 Hz

รูปที่ 14-a รูปร่างการสั่นและค่าความถี่ธรรมชาติของแบบจำลองปีกที่ทำการยึดตึงโคนของแบบจำลองไฟฟ์ไน์ต์อิลิเม้นท์ และค่าความถี่ธรรมชาติที่ทำนายได้ จากแบบจำลองโมเดลที่สร้างขึ้น



รูปที่ 14-b กราฟเปรียบเทียบความถี่ธรรมชาติของแบบจำลองปีกเมื่อทำการยึดตึงโคนปีกกระหว่างแบบจำลองไฟฟ์ไน์ต์อิลิเม้นท์กับแบบจำลองโมเดลที่สร้างขึ้น

4. สรุป

4.1. ข้อมูลจากการทดสอบจริงแบบยึดโครงสร้างอิสระ (Free support) ของโครงสร้างย่อย สามารถนำมาสร้างแบบจำลองโมเดล ซึ่งเป็นสมการคณิตศาสตร์ ซึ่งสามารถอธิบายพฤติกรรมการสั่นของโครงสร้างในเชิงความถี่ได้โดยมีการระบุ荷ใหม่ได้อย่างชัดเจน

4.2. แบบจำลองโมเดลแบบยึดโครงสร้างอิสระ สามารถนำมาใช้ ทำนายผลตอบสนองเชิงความถี่หรือพังก์ชันตอบสนองความถี่ของโครงสร้าง เมื่อทำการยึดตึง (Fixed support) ได้ แต่การสร้างแบบจำลองนี้ต้อง คำนึงถึงผลกระทบที่เกิดจากการดัดตัวเชิงมุมของโครงสร้างผังนังบาง ด้วย เนื่องจากข้อมูลที่ได้มาจากการวัดจะเป็นข้อมูลที่มาจากการสั่นที่หัว ในแนววางของคาน หากทำการยึดตึงเฉพาะจุดยึดมีกำหนด วิธี Sub-structuring อาจผิดพลาดได้ เนื่องจากผลกระทบจากการดัดตัว ยังคงอยู่ ดังนั้นจึงควรแบ่งจุดยึดเพิ่มให้ใกล้กับจุดที่ต้องการยึดเดิมด้วย เพื่อลดผลกระทบดังกล่าว (Bending)

4.3. ผลการทดสอบยืนยันให้เห็นถึงวิธีการ Sub-structuring ที่ดัดแปลง นี้สามารถนำมาใช้กับโครงสร้างที่มีความหน่วงสูง เช่น โครงสร้างปีก เครื่องบิน รีดคนขับได้ หรือเป็นโครงสร้างที่มีค่าอัตราส่วนความหน่วง ในช่วง 3 – 5 % (โครงสร้างทางกีฬาที่มีจุดต่อเชื่อม) [1]

5. กิตติกรรมประกาศ

คณะผู้ร่วมขอขอบคุณ สำนักงานกองทุนสนับสนุนการวิจัย(สกว.) และ สำนักงานวิจัยและพัฒนาการทางการแพทย์(สวพ.กพ.) ที่ให้ทุนสนับสนุน งานวิจัยขึ้นนี้

6. เอกสารอ้างอิง

- [1] D.J. Ewins , "Modal Testing: Theory, Practice and Application", 2nd Edition, Academic Press, 2001
- [2] António Panlo Vale Urgueira, 'DYNAMICS ANALYSIS OF COUPLED STRUCTURES USING EXPERIMENTAL DATA', a Thesis submitted to College of Science Technology and Medicine London, October 1989
- [3] Svend Gad , Henrik Herlufsen , Hans Konstantin-Hansen, 'Application Note: How to Determine the Modal parameters of Simple Structures', Brüel & Kjaer ,Denmark